

石川高専 正員。前川 幸次
金沢大学 正員 吉田 博

1. まえがき

通常、構造部材として使用されるはりは、種々の初期不整すなわち、幾何学的初期不整（荷重面内および面外の変形、ねじれ）および材料的初期不整（残留応力、降伏応力度の変動）を含んでいる。一方、荷重については、偏心および傾斜して作用することがあり、これも幾何学的初期不整の1つとして考えることができる。幾何学的初期不整を有するはりの横倒れ安定性は、有限変位理論に基づいた解析によって得られる荷重-変形曲線の最大荷重すなわち、耐荷力を評価するのが、より合理的であると思われる。本研究では、はりの分岐問題としての横倒れ座屈強度と初期変形、偏心載荷などの初期不整を有するはりの耐荷力との差について検討する。さらに、横倒れ安定性の指標として、耐荷力を求めた、これまでの初期不整ばりのモデルの妥当性について検討する。

2. 解析方法

横方向変位およびねじれに関しては両端で単純支持されたI形断面ばり（I-200×100×8.5×5.6）について、図-1に示すような、幾何学的初期不整を表わすモデルを採用する。Model-Iは初期横変形を有するはりであり、その初期横変形量を、円彌刀一千のライズ比に相当する、 $L/8R$ で表わす。Model-IIは鉛直荷重が上フランジ上で偏心載荷する直角なはりであり、その偏心量をeで表わす。Model-IIIは鉛直荷重 P_y および水平荷重 P_x がスパン中央で上フランジ中央に作用する直角なはりを表わし、荷重の比 $\beta = P_y/P_x$ を一定に保つ。Model-IVは初期横変形を有し、鉛直荷重が上フランジ上でウェブ中心線からeだけ偏心載荷するはりを表わす。また、図には示されていないが、直線ばりの横座屈強度解析のモデルをModel-Vとする。

数値解析は、曲線I形ばりの横倒れ耐荷力解析の手法（有限変位理論に基づいた伝達マトリックス法）を適用し、Model-IIおよびIIIに対しては曲率半径Rを無限大として扱う。材料的初期不整としては、図-2に示すような、圧延I形断面の残留応力分布を代表するものを使用する。

3. 結果および考察

(1) 図-3はModel-Iにおいて、初期横変形量 $L/8R$ による耐荷力の差を表わしている。横軸は修正細長比、 $\bar{\lambda} = \sqrt{M_p/M_E}$ であり、縦軸は低減係数、 $\delta_r = M_u/M_p$ である。図から、 $L/8R = 1/5000$ のように初期横変形が僅なはりの耐荷力曲線は、Model-IVの横座屈強度曲線に近い形状を示している。 $\bar{\lambda}$ が大きい場合、初期横変形によって耐荷力は著しく低下するが、 $\bar{\lambda}$ が小さくなると、逆に初期横変形の大きなはりの耐荷力が初期変形の小さなはりのそれを上回る傾向さえ見られる（この現象は、一様曲げのはりで、より顕著である）。そこで、 $\bar{\lambda} =$

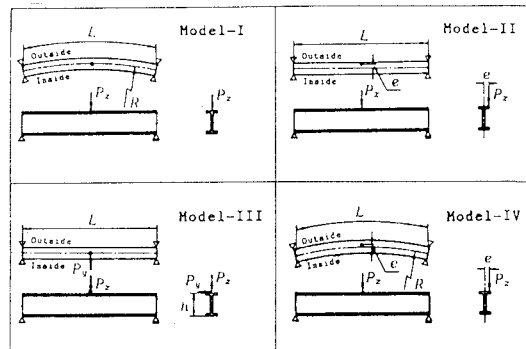


図-1 / 幾何学的初期不整のモデル

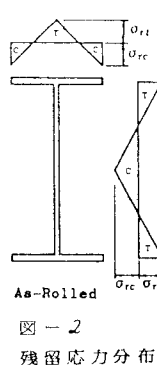


図-2 残留応力分布

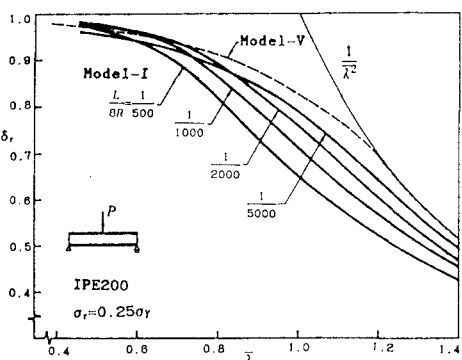


図-3 耐荷力曲線 ($L/8R$ による比較)

0.6のはりの耐荷力近傍における降伏領域の拡がりを半スパンについて図-7に示した。 $L/8R = 1/5000$ のはりでは部材長さ方向の降伏領域の拡がりは比較的小さいが、上フランジの外側に降伏を生じている。このような入が小さい場合、初期横変形の大小に起因する降伏領域の拡がりの差が剛性に影響し、耐荷力の大きさは初期横変形の大きさのみで単純に決まらないものと思われる（剛性に関する定量的な比較方法を検討中である）。

(2) 図-4はModel-Iのはり($L/8R = 1/1000$)で、残留応力の影響について検討したものである。残留応力による強度の低下は、Model-VがModel-Iよりも顕著である。しかし、曲線ばかり($L/8R = 1/50 \sim 1/100$)とは異なり、Model-Iでは残留応力の影響を無視できない。図-8は、 $\bar{\lambda} = 0.6$ で、耐荷力近傍における降伏領域の拡がりを示している。

(3) 図-5は、図-1に示した各モデルの比較を行ったものである。Model-I, IIおよびIVについては、両支点のフランジ中央を結ぶ直線に対する載荷点の偏りを約 $L/1000$ とし、Model-III Aは、水平荷重によるトルクがModel-IIの鉛直荷重によるトルクに等くなるようなどについて、またModel-III Bは、Lindnerが等分布荷重について用いた、 $\gamma = 0.1$ について検討を行った。一方、図-6は、 $\bar{\lambda} = 0.6$ の各モデルのスパン中央における断面の図心の変位と荷重の関係を示している。図から、Model-I, IIおよびIVでは、耐荷力の大小に一応の傾向はあるが、ほぼ等しいと見なせる。ところが、Model-III Aでは、水平荷重によるトルクに加えて、弱軸回りの曲げ変形および断面回転に伴う鉛直荷重によるトルクが生ずるため、耐荷力の低下が著しく、他のモデルと等価であるとは考えにくい。ただし、初期不整としての荷重の傾斜（水平荷重）を実際上どの程度に評価すべきかが問題であると思われる。

上述のように、降伏域の拡がりおよび変形挙動をさらに検討することにより、各種の初期不整のはりの耐荷力の関係および座屈荷重と耐荷力の関係を説明することができた。

前川・吉田，“伝達マトリックス法による曲線I形ばかりの耐荷力解析”，土木学会論文報告集，No.132，1981年8月。

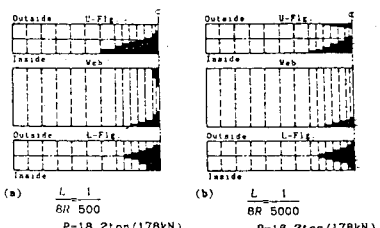


図-7 降伏領域 (Model-I, $\bar{\lambda}=0.6$)

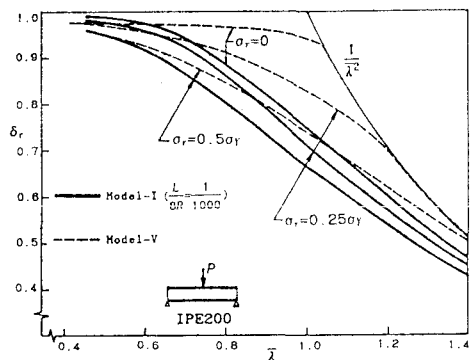


図-4 耐荷力曲線（残留応力の影響）

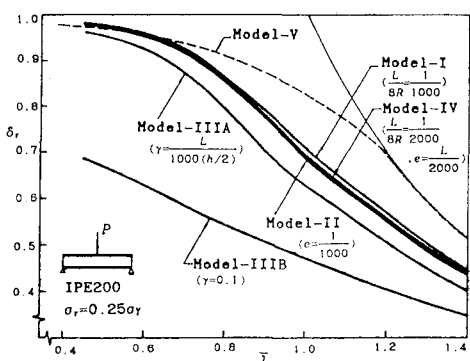


図-5 耐荷力曲線（モデルの比較）

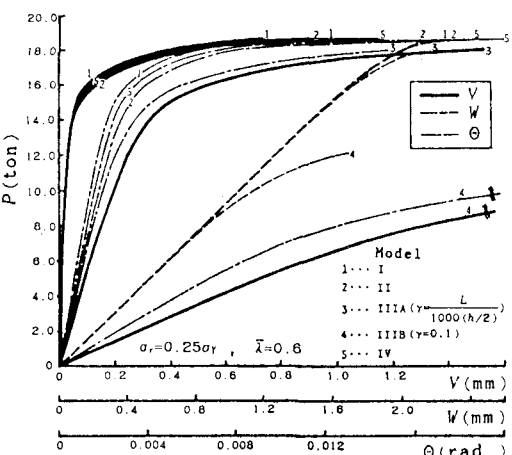


図-6 荷重-変形曲線（モデルの比較）

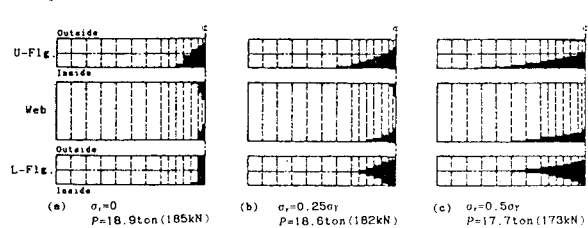


図-8 降伏領域 ($L/8R = 1/1000$, $\bar{\lambda} = 0.6$)